

FAKULTETA ZA MATEMATIKO IN FIZIKO  
UNIVERZA V LJUBLJANI

---

# Splošni Somborjev indeks

---

POROČILO PROJEKTA

Pecoraro Eliza Katarina, Žefran Kaja

december 2025

# 1 Teoretični uvod

Naj bo  $G = (V, E)$  graf, sestavljen iz množice vozlišč  $V(G)$  in množice povezav  $E(G)$ , kjer je  $|V(G)| = n$  število vozlišč in  $|E(G)| = m$  število povezav. Stopnja vozlišča  $d_G(v)$  predstavlja število povezav, ki so incidentne z vozliščem  $v$ . Največjo stopnjo grafa  $G$  označimo z  $\Delta(G)$  oziroma, kadar ni dvoumnosti, le z  $\Delta$ .

Graf reda  $n$ , ki ne vsebuje ciklov, imenujemo drevo z  $n$  vozlišči. Razred vseh dreves reda  $n$  z največjo stopnjo največ  $\Delta$  označimo z  $\tau(n, \Delta)$ .

V kemijski matematiki imajo pomembno vlogo topološki indeksi, ki temeljijo na stopnjah vozlišč. Gre za numerične invariante grafov, ki se uporabljajo pri modeliranju molekulskeih struktur in napovedovanju njihovih lastnosti. Eden izmed takšnih indeksov je **splošni Somborjev indeks**.

**Definicija 1.1** Splošni Somborjev indeks  $SO_\alpha(G)$  grafa  $G$  definiramo kot

$$SO_\alpha(G) = \sum_{\{u,v\} \in E(G)} (d_G(u)^2 + d_G(v)^2)^\alpha,$$

kjer je  $\alpha \in \mathbb{R}$  realen parameter.

Za  $\alpha = 0$  je  $SO_0(G) = |E(G)|$ . Če je  $T$  drevo z  $n$  vozlišči, velja  $SO_0(T) = n - 1$ . V nadaljevanju se bomo osredotočili na primer  $\alpha \in (0, 1)$ .

## 2 Cilj projekta

V tem delu raziskave se omejimo na **drevesa**, saj ta predstavljajo osnovni, a hkrati dovolj raznolik razred grafov, pri katerem je mogoč popoln pregled vseh neizomorfnih struktur za manjše vrednosti  $n$ .

Cilj projekta je identificirati drevesa z največjo vrednostjo splošnega Somborjevega indeksa znotraj razreda  $\tau(n, \Delta)$  za izbran parameter  $\alpha \in (0, 1)$ .

Posebej nas zanima vpliv:

- največje stopnje  $\Delta$ ,
- razporeditve stopenj v drevesu,
- izbire parametra  $\alpha$ ,

na vrednost indeksa in obliko ekstremnih dreves.

### 2.1 Vedenje indeksa pri različnih vrednostih parametra $\alpha$

Čeprav se v projektu osredotočamo na interval  $\alpha \in (0, 1)$ , nam vpogled v obnašanje indeksa pri drugih vrednostih parametra pomaga pri razumevanju ekstremnih struktur.

- Za  $\alpha > 1$  imajo večje stopnje vozlišč izrazit vpliv na vrednost indeksa, zato so ekstremna drevesa tista z zelo neenakomerno porazdelitvijo stopenj, kot je zvezdno drevo.
- Za  $\alpha < 0$  velike stopnje indeks zmanjšujejo, zato so ugodna drevesa z enakomerno porazdeljenimi stopnjami, na primer potna drevesa.

Za  $\alpha \in (0, 1)$  je funkcija  $x \mapsto x^\alpha$  naraščajoča in konkavna, kar pomeni, da večje stopnje še vedno povečujejo vrednost indeksa, vendar z zmanjšanim prispevkom.

### 3 Analiza dreves

V tem poglavju analiziramo obnašanje splošnega Somborjevega indeksa pri različnih vrednostih parametra  $\alpha$  na drevesih različnih velikosti. Z analizo želimo raziskati vpliv parametra  $\alpha \in (0, 1)$  na vrednost splošnega Somborjevega indeksa ter preučiti vpliv stopnje razvejanosti in števila vozlišč.

V nadaljevanju najprej obravnavamo majhne grafe, kjer je zaradi omejenega števila vozlišč mogoč izčrpen računski pregled vseh neizomorfnih dreves, nato pa analizo razširimo še na večje grafe.

#### 3.1 Računski pristop in generiranje podatkov

Analiza splošnega Somborjevega indeksa je bila izvedena z uporabo dveh različnih računskih pristopov, odvisno od velikosti obravnavanih dreves. Pri majhnih drevesih smo uporabili izčrpen, sistematičen pregled vseh neizomorfnih struktur, pri večjih drevesih pa smo zaradi računske zahtevnosti uporabili stohastično iskanje.

**Majhna drevesa** Za majhne vrednosti števila vozlišč (za  $n \leq 10$ ) smo generirali vsa neizomorfna drevesa dane velikosti. Za vsako drevo smo izračunali največjo stopnjo  $\Delta$  ter vrednost Somborjevega indeksa za izbrane vrednosti parametra

$$\alpha \in \{0.05, 0.45, 0.5, 0.55, 0.95\}.$$

ki ležijo znotraj intervala  $(0, 1)$ . Izbrane vrednosti omogočajo opazovanje obnašanja indeksa v bližini mejnih vrednosti 0 in 1 ter v okolini srednje vrednosti 0.5. Drevesa smo nato razvrstili glede na največjo stopnjo in identificirali tista, pri katerih Somborjev indeks doseže maksimalno vrednost. Ta pristop omogoča natančno primerjavo vseh možnih struktur in jasen vpogled v vpliv razvejanosti na vrednost indeksa.

**Velika drevesa** Pri večjih vrednostih  $n$  izčrpno generiranje vseh dreves ni več izvedljivo, zato smo uporabili stohastični pristop. Pri tem smo uporabili iste vrednosti parametra  $\alpha$  kot pri majhnih drevesih, da so rezultati med seboj primerljivi. Algoritem začne z naključno izbranim začetnim drevesom, ki zadošča danim omejitvam (število vozlišč in največja stopnja), ter nato drevo postopno izboljšuje z lokalnimi spremembami (izbrali smo list - vozlišče stopnje 1, ta list priključili na drugo vozlišče) katerega stopnja po priključitvi ne preseže  $\Delta$ . Pri vsakem koraku se iz trenutnega drevesa generira novo drevo z majhno strukturno spremembou, pri čemer se sprememba sprejme le, če ne zmanjša vrednosti Somborjevega indeksa.

Ker je število možnih vrednosti največje stopnje  $\Delta$  pri velikih drevesih zelo veliko, smo stohastično preizkusili le nekatere reprezentativne vrednosti. Izbrali smo si:

$$\Delta \in \{2, 3, 4, 5, 10, \left\lfloor \frac{n}{4} \right\rfloor, \left\lfloor \frac{n}{2} \right\rfloor, n - 1\}.$$

Na primer, za drevo z  $n = 60$  smo opazovali vrednost pri  $\Delta \in \{2, 3, 4, 5, 10, 15, 30, 59\}$ .

### 3.2 Psevdokoda algoritma

Za boljši pregled nad izvedbo analize smo predstavili osnovno logiko algoritma v psevdokodi.

**Sistematični pregled za majhna drevesa:**

Za  $n = 1$  do  $10$ :

```
Generiraj vsa neizomorfna drevesa T_n
Za vsako drevo T:
    Izracunaj najvecjo stopnjo Delta(T)
    Izracunaj SO_alpha(T) za alpha v {0.05, 0.45, 0.5, 0.55, 0.95}
Identificiraj drevesa z najvecjim SO_alpha
```

**Stohastični pristop za velika drevesa:**

Stohastični pristop za velika drevesa:

Za dano  $n$  in  $\alpha$ :

```
Za več začetnih dreves (n_starts):
    Nastavi drevo T naključno
    Ponovi n_steps:
        Izberi lokalno spremembo T'
        Če SO_alpha(T') > SO_alpha(T):
            Sprejmi spremembo
    Shrani drevo z največjim SO_alpha
```

### 3.3 Analiza majhnih dreves

Pri analizi majhnih grafov, ki vsebujejo vse do 10 vozlišč, opazimo izrazit in stabilen trend v obnašanju splošnega Somborjevega indeksa. Za vse uporabljenе vrednosti parametra  $\alpha \in (0, 1)$  se izkaže, da je vrednost Somborjevega indeksa največja pri grafih z največjo možno maksimalno stopnjo  $\Delta$ , glede na število vozlišč, torej pri  $\Delta = n - 1$ . To pomeni, da imajo vozlišča z največjim številom povezav oziroma z največjo stopnjo ključno vlogo pri velikosti indeksa, saj bistveno zaznamujejo celotno strukturo grafa.

Pri analizi majhnih grafov smo uporabili vrednosti parametra

$$\alpha \in \{0.05, 0.45, 0.5, 0.55, 0.95\},$$

Rezultati so pokazali, da večja kot je vrednost parametra  $\alpha$ , večja je tudi vrednost Somborjevega indeksa, ne glede na število vozlišč ali stopnjo razvijanosti grafa.

Za vsako fiksno število vozlišč  $n$  smo izvedli popolni računski pregled vseh neizomorfnih dreves. Za vsak graf smo najprej izračunali največjo stopnjo  $\Delta$  ter drevesa razvrstili v razrede glede na to vrednost. Znotraj vsakega razreda smo izračunali vrednost Somborjevega indeksa

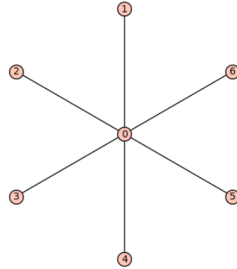
$$SO_\alpha(G) = \sum_{uv \in E(G)} (d_u^2 + d_v^2)^\alpha,$$

kjer  $d_u$  in  $d_v$  označujeta stopnji krajišč roba  $uv$ , ter določili drevo, pri katerem indeks doseže največjo vrednost za dano  $\Delta$ .

Poleg tega smo za vsako izbrano vrednost parametra  $\alpha$  določili tudi globalni maksimum Somborjevega indeksa med vsemi drevesi z  $n$  vozlišči ter identificirali vrednost največje stopnje  $\Delta$ , pri kateri se ta maksimum pojavi.

Kot reprezentativen primer si oglejmo primer  $n = 7$ . Rezultati pokažejo, da Somborjev indeks za vse obravnavane vrednosti parametra  $\alpha$  monotono narašča z naraščanjem maksimalne stopnje  $\Delta$ . Globalni maksimum je v vseh primerih dosežen pri drevesu z  $\Delta = 6$ , kar ustreza zvezdastemu drevesu. To drevo vsebuje eno vozlišče stopnje 6, ki je povezano z vsemi preostalimi vozlišči, kar povzroči največji možni prispevek k vrednosti indeksa.

Opazimo tudi, da se z večanjem parametra  $\alpha$  razlike med vrednostmi Somborjevega indeksa pri različnih vrednostih  $\Delta$  še povečujejo. To pomeni, da večje vrednosti  $\alpha$  dodatno poudarijo prispevek robov, ki povezujejo vozlišča z visokimi stopnjami, kar pride posebej do izraza pri zvezdastih drevesih.



Slika 1: Zvezdno drevo reda  $n = 7$  z maksimalno stopnjo  $\Delta = 6$ .

$\alpha$	$\Delta = 2$	$\Delta = 3$	$\Delta = 4$	$\Delta = 5$	$\Delta = 6$
0.05	6.61	6.76	6.87	6.98	7.19
0.45	14.32	17.62	20.63	23.94	30.47
0.50	15.79	19.86	23.69	28.02	36.50
0.55	17.40	22.39	27.22	32.80	43.72
0.95	38.07	58.52	83.37	117.49	185.33

Tabela 1: Maksimalne vrednosti splošnega Somborjevega indeksa  $SO_\alpha$  za drevesa reda  $n = 7$  in vse možne maksimalne stopnje  $\Delta$ .

Na podlagi izčrpne računske analize majhnih grafov lahko sklenemo, da za vsako obravnavano število vozlišč  $n \leq 10$  in za vsak parameter  $\alpha \in (0, 1)$  Somborjev indeks na razredu dreves doseže največjo vrednost pri grafih z največjo možno maksimalno stopnjo  $\Delta = n - 1$ . Z večanjem števila vozlišč se vrednost Somborjevega indeksa povečuje, vendar osnovni trendi, povezani z vplivom parametra  $\alpha$  in strukture drevesa, ostajajo enaki. To omogoča smiselno primerjavo rezultatov med majhnimi in večjimi drevesi.

### 3.4 Analiza velikih dreves

Pri analizi dreves z večjim številom vozlišč se osnovne lastnosti splošnega Somborjevega indeksa v veliki meri ohranijo. Absolutne vrednosti indeksa z naraščanjem števila vozlišč pričakovano naraščajo, pri čemer se za vse obravnavane vrednosti parametra  $\alpha \in (0, 1)$  globalni maksimum še vedno doseže pri drevesih z največjo možno stopnjo, torej pri zvezdnem drevesu z  $\Delta = n - 1$ .

Kljub temu pa se v primerjavi z majhnimi drevesi pojavijo pomembne strukturne razlike pri drevesih z omejeno največjo stopnjo  $\Delta$ . Medtem ko je pri majhnih grafih optimalna struktura za dano  $\Delta$  pogosto blizu zvezdni ali močno centralizirani oblik, se pri večjih drevesih optimalne konfiguracije porazdelijo na več vozlišč z visoko stopnjo. Empirični rezultati kažejo, da se pri naraščanju  $\Delta$  število vozlišč, ki dosegajo maksimalno stopnjo, postopoma zmanjšuje, hkrati pa se pojavljajo vozlišča z drugo največjo stopnjo, ki pomembno prispevajo k skupni vrednosti indeksa.

Ta pojav je povezan z naravo izraza

$$(d_u^2 + d_v^2)^\alpha,$$

kjer za  $\alpha \in (0, 1)$  posamezni zelo veliki prispevki ne prevladajo povsem nad večjim številom zmerno velikih prispevkov. Posledično so pri fiksni omejitvi  $\Delta$  optimalna drevesa pogosto sestavljena iz več delno razvejanih vozlišč, namesto enega samega izrazito dominantnega vozlišča.

Analiza za večje vrednosti  $n$  tako kaže, da se s povečevanjem največje dovoljene stopnje  $\Delta$  vrednost Somborjevega indeksa monotono povečuje, vendar se struktura optimalnih dreves postopno spreminja: od dreves z večjim številom vozlišč maksimalne stopnje pri manjših  $\Delta$  do struktur z enim samim dominantnim vozliščem v primeru  $\Delta = n - 1$ . Ta prehod potrjuje, da je pri velikih drevesih vpliv porazdelitve stopenj vozlišč ključen za razumevanje obnašanja splošnega Somborjevega indeksa, čeprav globalni maksimum ostaja dosežen pri ekstremno razvejanih strukturah.

Pri velikih drevesih se zvezdno drevo ne izkaže kot optimalna struktura. Razlog je v tem, da pri zelo veliki maksimalni stopnji  $\Delta$  večina robov povezuje vozlišče z zelo visoko stopnjo z listi, kar omeji skupni prispevek ostalih robov. Drevesa z bolj uravnoteženo porazdelitvijo stopenj omogočajo, da večje število robov prispeva k vsoti v definiciji Somborjevega indeksa, kar je za  $\alpha \in (0, 1)$  ugodnejše.

Rezultati stohastičnega iskanja se lahko med posameznimi zagoni nekoliko razlikujejo, kar je pričakovano zaradi naključne narave algoritma. Kljub temu se dobljene optimalne strukture dosledno gibljejo okoli podobnih vrednosti največje stopnje in imajo primerljivo porazdelitev stopenj, kar potrjuje stabilnost opaženih struktturnih lastnosti.

Ker smo pri velikih drevesih uporabili iste vrednosti parametra  $\alpha$  kot pri majhnih, lahko rezultate obeh pristopov med seboj neposredno primerjamo in tako dobimo celovit vpogled v vpliv  $\alpha$  in razvejanosti na Somborjev indeks.

### 3.5 Povzetek ugotovitev

Na podlagi analize majhnih in velikih grafov smo ugotovili, da z naraščanjem vrednosti parametra  $\alpha \in (0, 1)$  vrednost splošnega Somborjevega indeksa monotono narašča, ne glede na število vozlišč. Ta lastnost se izkaže kot stabilna tako pri majhnih kot pri velikih drevesih.

Vpliv največje stopnje razvejanosti  $\Delta$  se pri tem izkaže kot ključen. Pri majhnih grafih je globalni maksimum Somborjevega indeksa dosežen pri drevesih z največjo možno stopnjo razvejanosti, saj vozlišče z največ povezavami prispeva največji delež k vsoti v definiciji indeksa. Analiza velikih grafov pokaže, da ta lastnost ostaja ohranjena tudi za večje vrednosti  $n$ , saj zvezdno drevo z  $\Delta = n - 1$  še vedno dosega največjo možno vrednost indeksa.

Kljub temu pa rezultati pokažejo pomembne razlike v strukturi optimalnih dreves pri omejeni največji stopnji  $\Delta$ . Pri večjih grafih se optimalne konfiguracije za fiksno  $\Delta$  porazdelijo na več vozlišč z visoko stopnjo, kar kaže, da vrednost indeksa ni določena zgolj z enim lokalnim ekstremom, temveč z globalno porazdelitvijo stopenj v grafu.

Uporaba različnih vrednosti parametra  $\alpha$ , vključno z vrednostmi v bližini 0, 0.5 in 1, je omogočila celovito analizo vpliva parametra na obnašanje indeksa. S tem smo pokazali, da parameter  $\alpha$  ne vpliva zgolj na absolutno velikost Somborjevega indeksa, temveč tudi na relativni pomen posameznih struktturnih lastnosti grafa, zlasti razporeditve stopenj vozlišč.

## Viri

- Ahmad S., Farooq R., Das K. C.: *General Sombor Index*. MATCH Commun. Math. Comput. Chem. 94 (2020), 825–853.